

ТЕМПЕРАТУРНАЯ ЗАВИСИМОСТЬ РЕКОМБИНАЦИИ ЧЕРЕЗ УРОВНИ КОМПЛЕКСОВ

В СИЛЬНО ЛЕГИРОВАННОМ ЭПИТАКСИАЛЬНОМ p -GaAs : Ge

Журавлев К. С., Терехов А. С., Шамирзаев Т. С.

Изучена температурная зависимость положения максимума и интегральной интенсивности полосы фотолюминесценции C с $\hbar\omega=1.3$ эВ в слоях сильно легированного эпитаксиального p -GaAs : Ge. Установлено, что при повышении температуры положение максимума полосы C сильно смещается в длинноволновую область спектра, а интенсивность полосы падает. Показано, что основным механизмом гашения полосы C является безызлучательная рекомбинация через соответствующий центр. Экспериментальные зависимости описаны в модели конфигурационных диаграмм с излучательным переходом центр—валентная зона. В рамках этой модели определены энергии активации тушения полосы C , связанные с выбросом электронов в зону проводимости ($E_b=19$ мэВ) и с безызлучательной рекомбинацией ($E_a=-69$ мэВ), а также энергия эффективной колебательной моды центра ($\hbar\omega_k=0.94$ мэВ).

В работах [1, 2] показано, что в спектрах фотолюминесценции (ФЛ) эпитаксиального сильно легированного (СЛ) p -GaAs : Ge появляются длинноволновые полосы люминесценции (C, D), обусловленные рекомбинацией через уровни комплексов, образованных атомами германия и точечными дефектами. Полосы обнаруживаются при концентрации дырок $p > 5 \cdot 10^{18} \text{ см}^{-3}$, а при $p > 10^{19} \text{ см}^{-3}$ доминируют в низкотемпературных спектрах ФЛ. Для этих концентраций наблюдается падение эффективности люминесценции [3]. В настоящей работе изучена температурная зависимость спектроскопических параметров полосы C , что позволило установить механизм рекомбинации через соответствующий центр.

Образцы p -GaAs : Ge выращивались методом жидкостной эпитаксии из расплава галлия на подложках полуизолирующего GaAs ориентации (100) при начальной температуре роста 900 °C со скоростью охлаждения 0.7 град/мин. Толщины выращенных пленок лежали в пределах 10–15 мкм. Концентрация свободных носителей определялась из измерения коэффициента Холла методом Ван-дер-Пау. Стационарная ФЛ измерялась на установке, описанной в работе [1]. Для возбуждения ФЛ использовался аргоновый лазер с $\lambda = 5145$ Å. Плотность возбуждения соответствовала линейному режиму и равнялась 100 Вт/см². При измерении температурных зависимостей точность измерения и стабилизации температуры была не хуже ± 0.5 К. Исследования проводились на образцах с уровнем легирования $p > 5 \cdot 10^{18} \text{ см}^{-3}$, спектры ФЛ которых содержат хорошо различимые длинноволновые полосы.

На рис. 1 приведены спектры ФЛ p -GaAs:Ge для образца с концентрацией дырок $p = 1.9 \cdot 10^{19} \text{ см}^{-3}$, на которых отчетливо видны три перекрывающиеся полосы — полоса зона-акцепторной рекомбинации B и полосы C, D . При повышении температуры наблюдается падение интенсивности полос C и D , связанное с активационным гашением излучательной рекомбинации. Интенсивность более глубокой полосы D уменьшается слабо, возможно, из-за большей энергии активации тушения люминесценции.

Гашение полосы C может быть связано как с безызлучательным переходом на центре, так и с термовыбросом электронов в зону проводимости. В последнем случае должно наблюдаться увеличение интенсивности краевой люминес-

ценции, обусловленное повышением концентрации носителей в зоне. Однако интенсивность полосы B слабо изменяется с температурой, что свидетельствует в основном о безызлучательной природе гашения глубоких полос и малом вкладе других каналов безызлучательной рекомбинации.

Особенностью приведенных спектров является сильное смещение положения максимума полосы C ($\hbar\omega_c$) по сравнению с полосой B в длинноволновую область спектра с повышением температуры. Большая ширина (>60 мэВ)

указывает на сильную связь с решеткой центров, ответственных за полосы C и D . Такие центры обычно описываются в рамках модели конфигурационных диаграмм (МКД) [14].

Для количественного описания температурных зависимостей спектроскопических параметров спектры были разложены на составляющие по методике, приведенной в [1]. Форма полос C и D описывалась кривыми Гаусса, полученными для излучательной рекомбинации через глубокие центры в модели конфигурационных диаграмм. Параметры полосы C определялись с помощью оптимизации по методу χ^2 . Из-за сильного перекрытия полос ширина полосы C

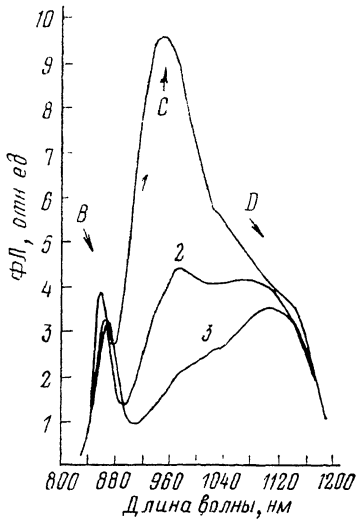


Рис. 1. Спектры фотолюминесценции (ФЛ) p -GaAs : Ge с $p = 1.9 \cdot 10^{19}$ см⁻³ при различных температурах.
Т, К: 1 — 60, 2 — 100, 3 — 130.

определяется с большой погрешностью, поэтому ее температурную зависимость достоверно определить не удалось. Зависимости интегральной интенсивности и положения максимума полос B и C от температуры приведены на рис. 2 и 3 соответственно.

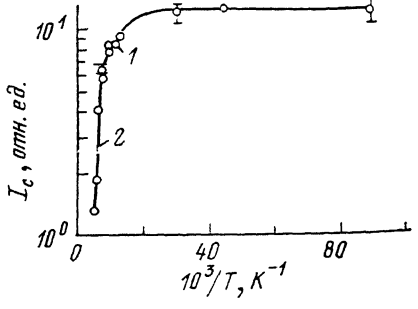


Рис. 2. Температурная зависимость интегральной интенсивности полосы C (I_c). Сплошная линия — теория (2), точки — эксперимент.

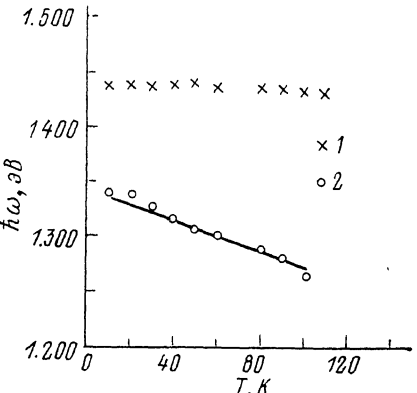


Рис. 3. Температурная зависимость положения максимумов полос B (1) и C (2). Сплошная линия — теория (2).

Для теоретического описания температурных зависимостей интенсивности и положения полосы C в рамках МКД мы рассматривали переход типа центр—зона, когда излучательный переход происходит между основным состоянием центра и валентной зоной. После захвата на уровень центра электрон может либо рекомбинировать в валентную зону как излучательно, так и безызлучательно [4, 5], либо термически выброситься в зону проводимости. Температурная зависимость интегральной интенсивности полосы C (I_c) в этой модели определяется выражением [6]

$$I_c(T) = I_c(0) / [1 + A \exp(-E_a/kT) + B \exp(-E_b/kT)], \quad (1)$$

где $I_c(T)$ — интегральная зависимость полосы при температуре T , $I_c(0)$ — при $T > 0$, E_a — энергия термоактивации безызлучательного перехода, E_b — энергия термовыброса электрона в зону проводимости, постоянные A и B характеризуют отношение вероятностей безызлучательного и излучательного переходов и отношение вероятностей выброса носителей в зону и излучательного перехода соответственно.

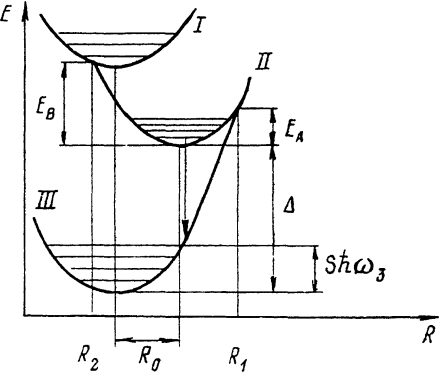
Эта модель предсказывает температурную зависимость I_c с двумя наклонами 1 и 2, один из которых будет определяться безызлучательным переходом с энергией активации E_a , другой — термовыбросом электронов в зону проводимости с энергией активации E_b . Для рассмотрения смещения положения максимума полосы C с температурой в рамках МКД мы воспользовались методом, развитым в [7, 8]. Можно показать, что в рамках гармонического приближения и приближения Кондона выражение для температурной зависимости $\hbar\omega_c$ имеет вид

$$\begin{aligned}\hbar\omega_c(T) = \varepsilon_0 - S\hbar\omega_3 + [\hbar\omega_2(N/4)](1 - \omega_3^2/\omega_2^2) \operatorname{ctg}(\hbar\omega_3/2kT), \\ \varepsilon_0 = \Delta + (N/2)\hbar(\omega_2 - \omega_3), \quad S = m\omega_3 R_0^2/2\hbar,\end{aligned}\quad (2)$$

где N — число мод колебаний, с которыми взаимодействует электрон на центре, Δ — разность энергий между основным состоянием центра II и валентной зоной III (рис. 4), ω_2 и ω_3 — частоты эффективных колебательных мод в II и III , а R_0 — сдвиг минимума потенциала при переходе из II в III .

Из (2) видно, что температурная зависимость $\hbar\omega_c$ определяется членом $\operatorname{ctg}(\hbar\omega_2/2kT)$, т. е. энергией эффективной колебательной моды в основном состоянии центра $\hbar\omega_2$. Сомножитель

Рис. 4. Модель конфигурационных диаграмм. E — энергия, R — конфигурационная координата; состояния центра: I — ионизированное, II — основное; III — валентная зона.



($I - \omega_3^2/\omega_2^2$) в третьем члене (2) определяет направление сдвига, следовательно, в нашем случае $\omega_2 < \omega_3$.

Для определения значений параметров МКД мы провели сравнение экспериментальных и теоретических зависимостей. Пользуясь (1), в пределах экспериментальной погрешности мы получили энергии активации и константы, равные $E_b = (19 \pm 3)$ и $E_a = (69 \pm 1)$ мэВ, $A = (2360 \pm 10)$ и $B = (21 \pm 10)\%$ соответственно. Соотношение констант A и B показывает, что основным механизмом гашения полосы C является, как и предполагалось, безызлучательный переход. С повышением концентрации примеси ($p > 1 \cdot 10^{19}$ см $^{-3}$) полоса D начинает доминировать в спектрах при температурах выше 130 К. Поэтому значения E_a получены только на образцах с $p < 1.3 \cdot 10^{19}$ см $^{-3}$.

Сравнивая экспериментальные результаты, приведенные на рис. 3, с (2), получим $\hbar\omega_2 = 0.94$ мэВ. Определить другие параметры трудно, поскольку они не являются независимыми, однако можно найти их комбинации: $K1 = \varepsilon_0 - S\hbar\omega_3$ и $K2 = \hbar\omega_3(N/4)(1 - \omega_3^2/\omega_2^2)$. Наилучшее совпадение расчетных и измеренных зависимостей было достигнуто при $K1 = 1366$ и $K2 = -3.8$.

Таким образом, из сравнения расчета с экспериментом мы определили значения энергии эффективной колебательной моды в основном состоянии центра, а также энергии активации безызлучательного перехода и выброса носителей в зону.

Следует отметить, что в рамках МКД, кроме рассмотренного варианта переход центр—зона, возможен внутрицентровой переход, когда электрон безызлучательно захватывается на уровень возбужденного состояния, затем излучательно

тельно переходит на уровень основного состояния центра.¹ В этом случае энергия максимума полосы ФЛ не должна зависеть от концентрации центров, если сам центр не изменяется при увеличении уровня легирования. Однако в работе [1] мы показали, что энергия максимума полосы C смещается в длинноволновую сторону при повышении уровня легирования, а значения параметров центра не зависят от концентрации легирующей примеси.² Кроме того, значения определенных в настоящей работе параметров центра E_b и $\hbar\omega_2$ (и параметра E_a в области $p < 1.3 \cdot 10^{19} \text{ см}^{-3}$) также не зависят от концентрации легирующей примеси.

Список литературы

- [1] Журавлев К. С., Терехов А. С., Якушева Н. А. // ФТП. 1988. Т. 22. В. 5. С. 777—779.
- [2] Журавлев К. С., Чикичев С. И., Штаске Р., Якушева Н. А. // ФТП. 1990. Т. 24. В. 9. С. 1645—1649.
- [3] Журавлев К. С., Морозов Б. В., Терехов А. С., Якушева Н. А. // ФТП. 1990. Т. 24. В. 4. С. 702—705.
- [4] Klick C. C., Shulman J. H. // Sol. St. Phys. V. 5 / Ed. by F. Seitz, D. Turnbull. N. Y., 1957. P. 97—172.
- [5] Dexter P. L. // Sol. St. Phys. V. 6. / Ed. by F. Seitz, D. Turnbull. N. Y., 1958. P. 355—411.
- [6] Clinchuk K. D., Prohorovich A. W. // Phys. St. Sol. (a). 1975. V. 29. N 1. P. 339—345.
- [7] O'Rourke R. C. // Phys. Rev. 1953. V. 91. N 2. P. 265—270.
- [8] Ребане К. К. Элементарная теория колебательной структуры спектров примесных центров кристаллов. М., 1969. 232 с.

Институт физики полупроводников
СО АН СССР
Новосибирск

Получена 25.04.1990
Принята к печати 20.06.1991

¹ В этом случае полученные нами значения параметров E_b и $\hbar\omega_2$ относились бы к характеристикам возбужденного состояния центра.

² Увеличение ширины полосы C при $p > 1 \cdot 10^{19} \text{ см}^{-3}$, отмеченное в [1], связано с тем, что при ее определении не учитывалась полоса D .